

## **Передача направленной по полету локальной нагрузки на крыльевую панель. Модель первого уровня**

*Национальный аэрокосмический университет им. Н.Е. Жуковского «ХАИ»*

Разработана и полностью проанализирована математическая модель задачи передачи локальных нагрузок на прямоугольную пластину, подкрепленную ребрами жесткости, расположенными как на границе, так и в области, занимаемой пластинкой. На основании полученных результатов даны рекомендации для проектирования аналогичных конструкций.

**Ключевые слова:** крыльевая панель, локальная нагрузка, бортовая балка, бимс, распределение напряжений.

### **Введение**

Рассмотрена задача деформирования прямоугольной пластины, подкрепленной часто расположенным стрингерным набором, под действием сосредоточенных и распределенных (локально) нагрузок, приложенных к краевой балке нормально к ее оси. Краевая балка непрерывно связана с пластиной, которая, в свою очередь, взаимодействует с полками нервюр, имеющими конечную жесткость на растяжение-сжатие. Плоскость нагрузки совпадает с плоскостью пластины. Схема рассматриваемой конструкции изображена на рис. 1.

Решения, полученные в замкнутом виде, позволяют выполнять оперативные расчеты в целях выявления влияния различных параметров конструкции на ее напряженное состояние, что весьма важно при проектировании. Даны примеры расчетов, а соответствующие результаты показаны на графиках.

Рассматриваемая математическая модель является приближенной [1]. Более точные модели, описывающие работу прямоугольной пластины как основного элемента системы, предложены в работах [2, 3].

### **1. Действие сосредоточенной силы на пластину, дополнительно подкрепленную бимсом, идущим навстречу силе**

Схема конструкции изображена на рис. 1. Наличие бимса позволяет существенно упростить расчетную модель. Поскольку сосредоточенная сила передается через краевую балку, абсолютно жесткую в поперечном направлении, то вся сила будет сразу воспринята бимсом в его крайнем сечении. Это позволяет считать, что в обшивке будут развиваться в основном касательные напряжения, являющиеся лишь функцией координаты  $x$ . Кроме того, допускается возможность появления поперечных деформаций, следствием чего является наличие напряжений  $\sigma_y$ . Тогда из уравнения равновесия элемента обшивки и краевого условия при  $x=0$  следует, что  $\sigma_x=0$ . Жесткость часто расположенных стрингеров учитывается в приведенной толщине обшивки, так что обшивка считается выполненной из ортотропного материала.

Ниже задача рассматривается как с учетом поперечных деформаций, так и без их учета.

Будем исходить из уравнений плоской задачи теории упругости в варианте обобщенного плоского напряженного состояния. Исходными являются уравнения равновесия элемента обшивки (1), соотношения закона Гука, записанные для ортотропного материала (2), связь между деформациями и перемещениями (соотношения Коши) – (3), уравнения равновесия элементов дискретно учитываемого подкрепления (бимса, балки, приведенных поясков нервюр) – (4), а также физические и геометрические соотношения для указанных одномерных элементов. Приводим все отмеченные зависимости.

Уравнения равновесия элемента обшивки

$$\frac{\partial \sigma_x}{\partial x_0} + \frac{\partial \tau}{\partial y_0} = 0, \quad \frac{\partial \tau}{\partial x_0} + \frac{\partial \sigma_y}{\partial y_0} = 0. \quad (1)$$

Нормальные напряжения считаются положительными, если они растягивающие, а положительные направления касательных напряжений указаны на рис. 1.

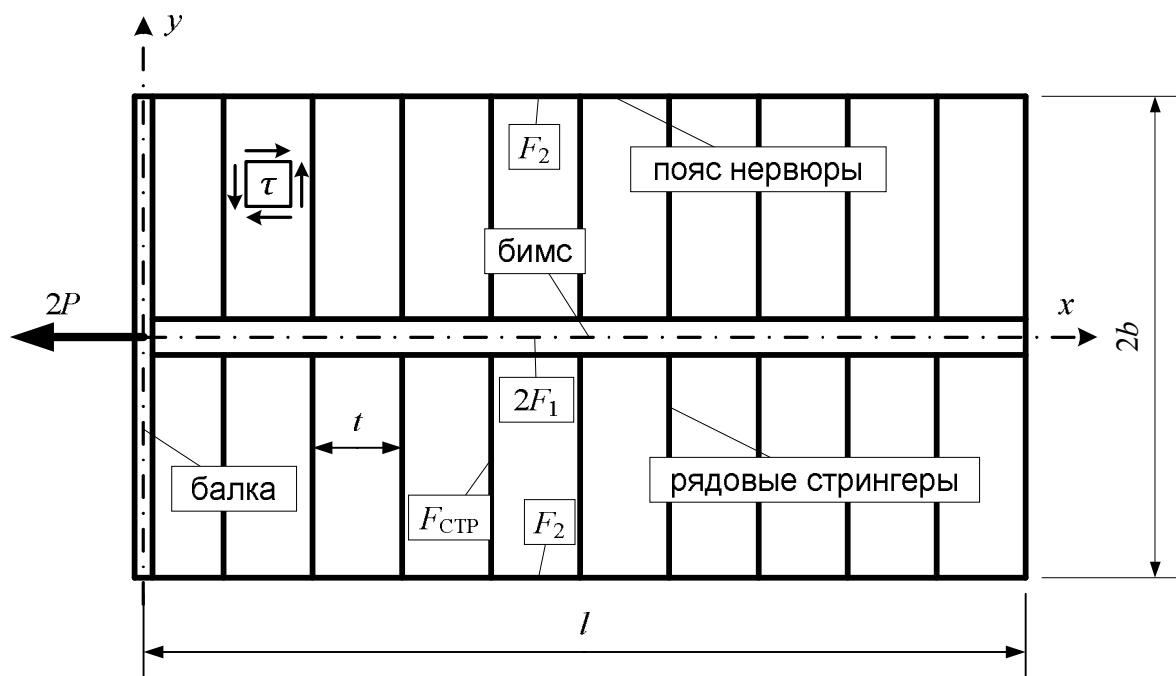


Рис. 1. Схема конструкции (панель 1)

Соотношения закона Гука

$$\sigma_x = \frac{E_x}{1 - \nu_1 \nu_2} (\varepsilon_x + \nu_2 \varepsilon_y), \quad \sigma_y = \frac{E_y}{1 - \nu_1 \nu_2} (\varepsilon_y + \nu_2 \varepsilon_x), \quad \tau = G\gamma. \quad (2)$$

Соотношения Коши

$$\varepsilon_x = \frac{\partial u}{\partial x_0}, \quad \varepsilon_y = \frac{\partial v_0}{\partial y_0}, \quad \gamma = \frac{\partial u_0}{\partial y_0} + \frac{\partial v_0}{\partial x_0}. \quad (3)$$

Уравнения равновесия подкрепления с учетом симметрии рассматриваемой системы запишутся так:

$$\frac{dN_1}{dx_0} + 2S = 0, \quad \frac{dN_2}{dx_0} - S = 0, \quad \frac{dN_0}{dx_0} + S = 0, \quad (4)$$

где  $N_1, N_2, N_0$  – продольные усилия в сечениях бимса, пояса нервюры и краевой балки соответственно,  $S = G\gamma h$  – поток касательных сил ( $G$  – модуль сдвига материала обшивки,  $h$  – толщина обшивки без учета стрингеров). Как будет показано ниже, краевая балка на изгиб не работает и поэтому уравнение изгиба элемента балки здесь не приведено. В формулах дифференцирование ведется по переменным  $x_0, y_0$  имеющим размерность длины:  $0 \leq x_0 \leq l$ ,  $-b \leq y_0 \leq b$ . В дальнейшем удобно будет работать в безразмерных координатах

$$x = \frac{x_0}{l}, \quad y = \frac{y_0}{b}, \quad 0 \leq x \leq 1, \quad -1 \leq y \leq 1. \quad (5)$$

Примем, что сдвиги  $\gamma$  не зависят от  $y$ :  $\gamma = \gamma(x)$ , тогда и  $S = S(x)$ . Из первого уравнения равновесия (1) получим  $\sigma_x = \sigma_x(y)$ , но поскольку сила сразу передается на бимс, то на краю пластины  $x = 0$  нормальные напряжения не возникают, а это значит, что  $\sigma_x \equiv 0$ . Таким образом, принятые допущения благодаря наличию бимса не противоречат первому уравнению равновесия. Первое соотношение закона Гука в (2) служит для определения деформации  $\varepsilon_x$ , которая отлична от нуля и определяется уравнением

$$\varepsilon_x = -\nu_2 \varepsilon_y. \quad (6)$$

Поток касательных сил  $S = S(x)$  представим в виде суммы двух компонент

$$S = S_1 + S_2, \quad (7)$$

где  $S_1 = S_1(x)$  вызван продольными деформациями ребер, взаимодействующих с обшивкой:

$$S_1 = Gh\gamma = \frac{Gh}{b}(u_2 - u_1), \quad (8)$$

где  $u_1$  и  $u_2$  – продольные перемещения осевых линий бимса и пояса нервюры соответственно. Формула (8) легко устанавливается из рассмотрения геометрии деформирования сечения  $x = const$  конструкции.

Из уравнения (8) имеем (здесь и далее «штрих» означает дифференцирование по безразмерной переменной  $x$ ):

$$S_1'' = \frac{Gh}{b}(u_2'' - u_1''), \quad (9)$$

и так как

$$u_1'' = \frac{l}{2E_1F_1}N_1', \quad u_2'' = \frac{l}{2E_2F_2}N_2', \quad (10)$$

то с учетом уравнений равновесия элементов подкрепления

$$N_1' + 2lS = 0, \quad N_2' = lS \quad (11)$$

получим

$$u_1'' = -\frac{l^2}{E_1 F_1} S, \quad u_2'' = \frac{l}{E_2 F_2} S. \quad (12)$$

Подставив теперь (12) в (9), получим

$$S_1'' = \lambda^2 S, \quad (13)$$

где  $\lambda^2 = \frac{Ghl^2}{E_1 F_1 b} (1 + f)$  – безразмерный параметр;

$f = E_1 F_1 / E_2 F_2$  – параметр, характеризующий соотношение продольных жесткостей элементов подкрепления.

Далее из второго уравнения равновесия элемента пластины (1), записанного в виде

$$\frac{l}{b} \frac{\partial \sigma_y}{\partial y} + \frac{l}{h_1 l} S'(x), \quad (14)$$

находим  $\sigma_y$ :

$$\sigma_y = -\frac{b}{h_1 l} y S'(x) + C_\sigma(x). \quad (15)$$

Отметим, что  $h_1$  – это уже приведенная толщина обшивки:

$$h_1 = h + F_{СТР} / t, \quad (16)$$

где  $F_{СТР}$  – площадь поперечного сечения стрингера,  $t$  – шаг стрингеров.

Функцию  $C_\sigma(x)$  определим из того условия, что пояса нервюр не воспринимают изгиба в плоскости панели, т.е. при  $y = l$  должно быть  $\sigma_y = 0$ , что дает:

$C_\sigma(x) = bS' / h_1 l$ , и для  $\sigma_y(x, y)$  получаем формулу

$$\sigma_y(x, y) = \frac{b}{h_1 l} (l - y) S'(x). \quad (17)$$

В направлении оси  $y$  жесткость пластины значительно выше, чем в направлении оси  $x$ , что обусловлено подкрепляющим эффектом стрингеров. Следствием этого является малое значение коэффициента Пуассона  $\nu_1$ . Полагая  $\nu_1$  равным нулю, из закона Гука (2) получаем

$$\sigma_y = E^* \varepsilon_y = \frac{E^*}{b} \frac{\partial v}{\partial y}, \quad (18)$$

где  $E^*$  – приведенный модуль упругости панели (с учетом стрингеров). Нетрудно получить, что  $E^*$  определяется формулой

$$E^* = E_{о\sigma} \tilde{h} + E_{СТР} (1 - \tilde{h}), \quad (19)$$

где  $E_{об}$ ,  $E_{СТР}$  – модули упругости обшивки и стрингера соответственно,  $\tilde{h}$  – безразмерный параметр, равный  $h/h_l$ .

Из уравнения (18) получаем

$$v(x, y) = \frac{b^2}{E^* h_l l} S'(x) \int_0^y (1-y) dy + v^0(x),$$

где  $v^0(x) = v(x, y=0) = 0$  (следует из симметрии).

Теперь предыдущую формулу можно записать так:

$$v(x, y) = \frac{b^2}{2E^* h_l l} (2y - y^2) S'(x). \quad (20)$$

Поскольку поток касательных сил  $S_2(x)$ , как было отмечено выше, обусловлен поперечной деформацией панели, то из закона Гука с учетом соотношения Коши можно получить:

$$S_2(x) = G \frac{h}{l} \frac{\partial v}{\partial x} = \beta^* (2y - y^2) S''(x), \quad (21)$$

где безразмерный параметр  $\beta^*$  определяется так:

$$\beta^* = \frac{G b^2 h}{2E^* h_l l^2}.$$

Функции  $S$  и  $S_l$  являются функциями лишь переменной  $x$ , но тогда и  $S_2 = S - S_l$  должна быть лишь функцией переменной  $x$ . Поэтому за  $S_2$  примем средний по высоте сечения  $x = const$  поток касательных сил, т. е. положим

$$S_2(x) = \beta^* S''(x) \int_0^1 (2y - y^2) dy = \beta S''(x), \quad (22)$$

где  $\beta = G b^2 h / 3E^* h_l l^2 = \frac{2}{3} \beta^*$ .

Из формулы (22) двукратным дифференцированием находим

$$S_2''(x) = \beta S^{IV}. \quad (23)$$

Складывая теперь (23) с (13) и учитывая (7), получаем исходное дифференциальное уравнение

$$S^{IV} - 2 \frac{1}{2\beta} S'' + \frac{\lambda^2}{\beta} S = 0. \quad (24)$$

Корни  $r$  соответствующего характеристического уравнения следует определить по формуле

$$r = \pm \sqrt{\frac{1}{2\beta} \left( 1 \pm \sqrt{1 - 4\beta\lambda^2} \right)}. \quad (25)$$

Могут представиться три случая:

1)  $1 > 4\beta\lambda^2$ , все корни  $r$  действительные и разные; решение  $S(x)$  следует брать в одной из форм, исходя из удобств расчета:

$$S = C_1 e^{r_1 x} + C_2 e^{r_2 x} + C_3 e^{-r_1 x} + C_4 e^{-r_2 x},$$

$$S = C_1 \operatorname{sh} r_1 x + C_2 \operatorname{ch} r_1 x + C_3 \operatorname{sh} r_2 x + C_4 \operatorname{ch} r_2 x,$$

где  $r_{1,2} = \sqrt{\frac{1}{2\beta} \left( 1 \pm \sqrt{1 - 4\beta\lambda^2} \right)}$ ;

2)  $1 = 4\beta\lambda^2$ , корни действительные двукратные:

$$S = (C_1 + rxC_2) e^{rx} + (C_3 + rxC_4) e^{-rx},$$

$$S = (C_1 + rxC_2) \operatorname{sh} rx + (C_3 + rxC_4) \operatorname{ch} rx,$$

где  $r = 1/\sqrt{2\beta}$ ;

3)  $1 < 4\beta\lambda^2$ , корни комплексные, попарно сопряженные:

$$S = (C_1 \sin qx + C_2 \cos qx) e^{px} + (C_3 \sin qx + C_4 \cos qx) e^{-px},$$

$$S = C_1 \sin qx \operatorname{sh} px + C_2 \sin qx \operatorname{ch} px + C_3 \cos qx \operatorname{sh} px + C_4 \cos qx \operatorname{ch} px,$$

а для величин  $p$  и  $q$  справедливы формулы:

$$p = \frac{1}{2\sqrt{\beta}} \sqrt{2\lambda\sqrt{\beta} + 1}, \quad q = \frac{1}{2\sqrt{\beta}} \sqrt{2\lambda\sqrt{\beta} - 1}.$$

Компоненты напряженно-деформированного состояния конструкции выражаются через одну (разрешающую) функцию  $S$ .

Опуская выкладки, приведем искомые формулы:

$$N_1(x) = N_1^0 - 2l \int_0^x S(t) dt, \quad N_2(x) = N_2^0 + l \int_0^x S(t) dt,$$

$$u_1(x) = \frac{l}{2E_1 F_1} \left( N_1^0 x - 2l \int_0^x (x-t) S(t) dt \right) + u_1^0, \quad (26)$$

$$u_2(x) = \frac{l}{E_2 F_2} \left( N_2^0 x + l \int_0^x (x-t) S(t) dt \right) + u_2^0.$$

В рассматриваемом случае  $N_2^0 = 0$ ,  $N_1^0 = 2P$ , а  $u_k^0$ ,  $k = 1, 2$  определяются из условий  $u_k^0(x=1) = 0$ , что дает такие формулы:

$$\begin{aligned}
 u_1^0 &= -\frac{l}{2E_1F_1} \left( N_1^0 - 2l \int_0^1 (1-t)S(t)dt \right), \\
 u_2^0 &= -\frac{l}{E_2F_2} \left( N_2^0 + l \int_0^1 (1-t)S(t)dt \right).
 \end{aligned}
 \tag{27}$$

Решение дифференциального уравнения (24) следует искать, как нетрудно показать, при следующих условиях:

$$\begin{aligned}
 1) \text{ при } x=0 \quad S - \beta S'' + \lambda^2 \int_0^y (1-t)S(t)dy &= \frac{\mu}{l}(N_1^0 - 2fN_2^0), \\
 2) \text{ при } x=0 \quad S' - \rho S &= 0, \\
 3) \text{ при } x=1 \quad S' &= 0, \\
 4) \text{ при } x=1 \quad S - \beta S'' &= 0,
 \end{aligned}
 \tag{28}$$

где  $\mu = \frac{Ghl^2}{2E_1F_1b}$ ,  $\rho = \frac{E^*hl}{E_0F_0}$ ,  $E_0 \cdot F_0$  – жесткость краевой балки.

Таким образом, принятая модель полностью проанализирована. Можно рекомендовать следующий порядок расчета:

- 1) вычислить безразмерные параметры  $\lambda^2$ ,  $\mu$ ,  $\beta$ ,  $\rho$  по приведенным формулам;
- 2) определить корни  $r$  характеристического уравнения и записать соответствующее решение для  $S(x)$ ;
- 3) произвольные постоянные  $C_K$ ,  $K=1,2,3,4$  содержащиеся в решении  $S(x)$ , определить из условий (28) и конкретизировать тем самым функцию  $S(x)$ , являющуюся потоком касательных сил в обшивке;
- 4) остальные компоненты напряженно-деформированного состояния определить по формулам (26), (20) и (17).

## 2. Пример расчета

В заключение приведем пример расчета. Примем такие исходные данные:

$$\begin{aligned}
 l &= 4b, & F_0 &= 4F_1, \\
 n_{СТР} &= 10, & h &= F_1/b, \\
 F_2 &= F_1, & E_{об} &= E_0 = E_1 = E_2 = E_{СТР} = 2G = E.
 \end{aligned}$$

По этим данным получаем

$$\begin{aligned}
 h_1 &= \frac{5F_1}{4b}, \quad \tilde{h} = \frac{4}{5}, \quad f = 1, \quad E^* = E, \\
 \lambda^2 &= 16, \quad \beta = \frac{1}{120}, \quad \mu = 4, \quad \rho = \frac{5}{4}.
 \end{aligned}$$

Для корней характеристического уравнения имеет место первый случай

$(1 > 4\beta\lambda^2)$ :

$$r_1 = 10,55372, r_2 = 2,93583.$$

Поскольку явного разделения корней на большие (по модулю) и малые нет, то берем решение в виде

$$S = C_1 \operatorname{sh} r_1 x + C_2 \operatorname{ch} r_1 x + C_3 \operatorname{sh} r_2 x + C_4 \operatorname{ch} r_2 x.$$

Выполнив условия (2.28), определим все постоянные  $C_k$ :

$$C_1 = -C_2 = 0,086281 \frac{2P}{b}, C_4 = -C_3 = 0,24331 \frac{2P}{b}.$$

Результаты расчетов изображены графиками на рис. 2 и 3. На рис. 2 показано изменение по оси  $x$  безразмерных параметров продольных усилий  $N_1$  и  $N_2$ , а также безразмерного параметра потока касательных сил  $S$ . Масштабы для продольных усилий указаны слева, для касательных – справа. Величина  $N_2/P$  характеризует продольную силу, приходящуюся на оба пояса нервюры в сумме; на каждую нервюру в силу симметрии приходится, естественно, половина этой величины. Как видно из рисунка, включение конструкции в работу происходит не очень интенсивно – бимс даже в корневом сечении берет на себя около 45% всей нагрузки. Наблюдается высокая концентрация касательных напряжений у загруженной краевой балки; падение касательных напряжений к корню очень интенсивно.

На рис. 3 показано изменение нормальных напряжений как по длине, так и по ширине панели; там же приведено распределение нормального усилия вдоль загруженной краевой балки. При построении графиков вдоль оси  $y$  необходимо учитывать, что задача решена для половины панели,

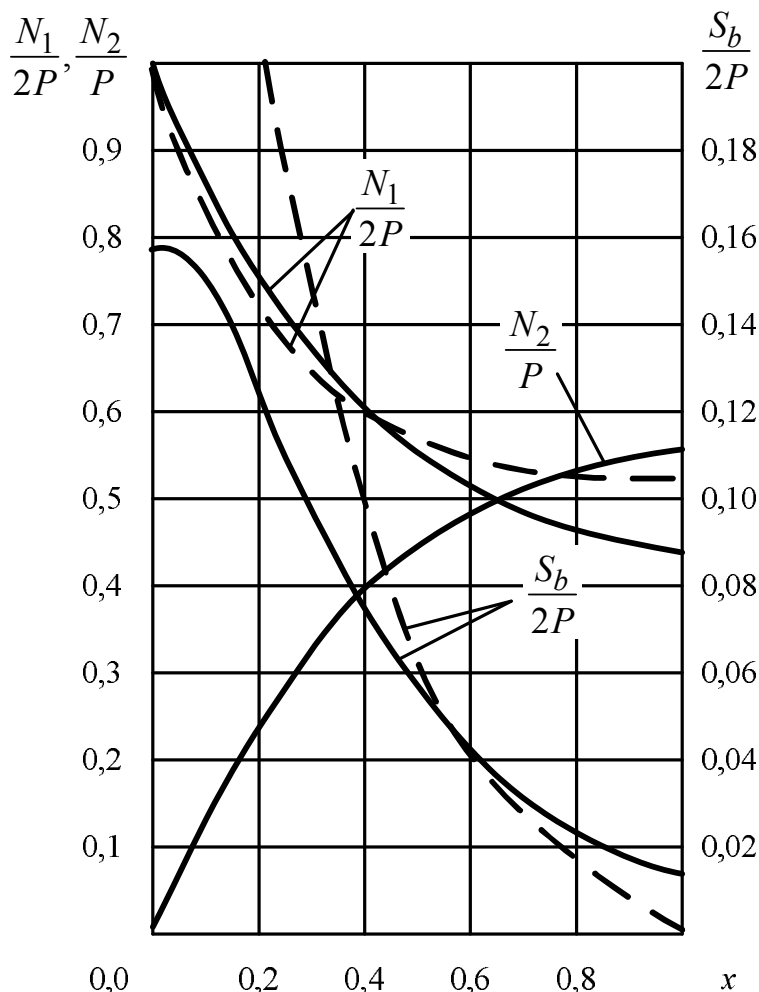


Рис. 2. Изменение усилий в элементах панели 1:

— с учетом  $\varepsilon_\gamma$ ; - - - без учета  $\varepsilon_\gamma$

для второй (нижней) половины функции, зависящие от  $y$ , необходимо продолжить через ось симметрично; единственными несимметричными функциями по  $y$  являются  $S$  и  $v$ . Продольная сила в среднем сечении нагруженной краевой балки незначительна и составляет всего около 15 % от приложенной силы  $2P$ .

Отметим, что в поперечном направлении (по оси  $y$ ) панель сжата (за исключением узкой зоны у края  $x = 0$ ) и это сжатие накладывается на основное напряженное состояние. Поэтому система должна иметь достаточный запас устойчивости. Кроме того, из-за больших градиентов касательных напряжений, что характерно для всех рассматриваемых здесь задач, может произойти потеря устойчивости от комбинации сжатия и сдвига. В какой мере повлияют дополнительные напряжения  $\tau$  и  $\sigma_y$  на характеристики устойчивости панели, сказать трудно, так как эта задача требует отдельного рассмотрения. Однако можно сделать некоторые прикидки.

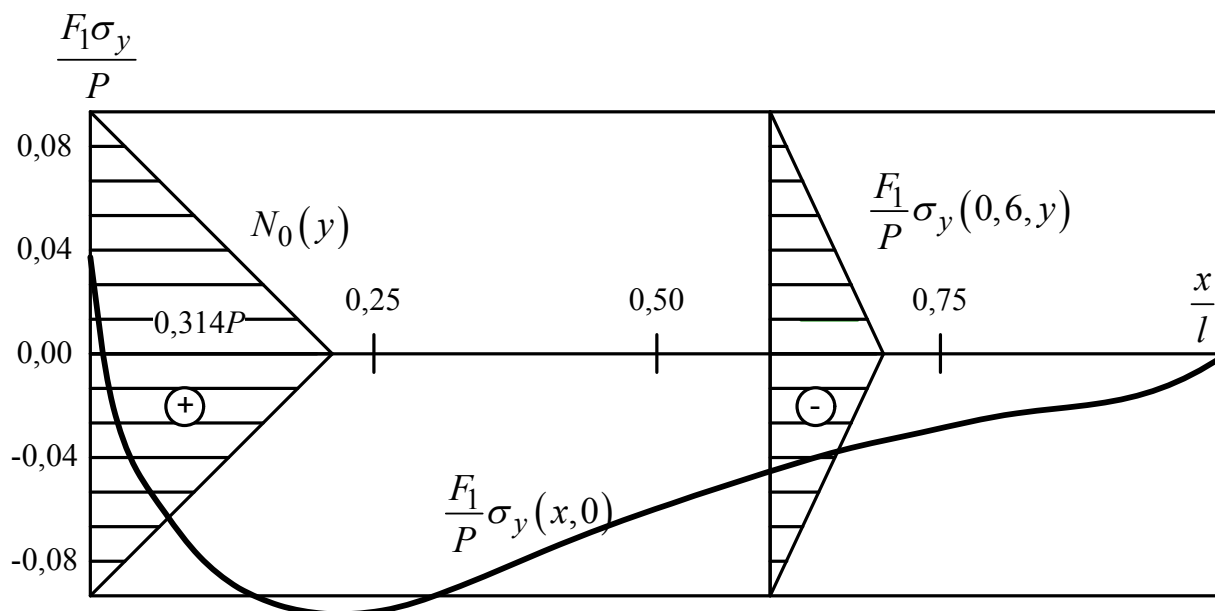


Рис. 3. Напряжение  $\sigma_y$  в обшивке и усилие  $N_0$  в балке

Если принять, что  $2F_l = 2P / [\sigma]$ , где, например  $[\sigma] = \sigma_P$  – предел пропорциональности, то  $\max |\sigma_y| = |\sigma_y|_{y=0} = 0,12 \cdot \sigma_P$ , т.е. максимальный уровень сжимающих  $\sigma_y$  напряжений, которые оказывают неблагоприятное воздействие на параметр устойчивости системы, составляет около 12% от напряжений предела пропорциональности. Для касательных напряжений этот уровень оказывается значительно выше: максимальные касательные напряжения у краевой зоны достигают примерно 31,5% напряжений предела пропорциональности, что в сочетании с предварительным напряженным состоянием может оказаться опасным.

Что же касается вопроса о дополнительном догрузении имеющегося заклепочного шва вдоль  $y$ , при некотором  $x = const$ , то, как видно из графика для  $S$

на рис. 1.2, шов не будет испытывать значительных напряжений, если он расположен при  $x > 0,5$ , т.е. – правее середины панели. Так, например, при  $x > 0,6$   $\tau_{дон} \approx 8\% \sigma_P$ .

### Список литературы

1. Григолюк Э.И. Контактные задачи теории пластин и оболочек / Э.И. Григолюк, В.М. Толкачев – М.: Машиностроение, 1980. – 411 с.
2. Халилов С.А. Решение в прямоугольнике статической задачи теории упругости при заданных на границе напряжениях / С.А. Халилов // Вопросы проектирования самолетных конструкций: сб. науч.тр. ХАИ. – Вып 3. – 1982. – С. 120–127.
3. Халилов С.А. К определению плоского напряженного состояния прямоугольной стрингерной пластинки / С.А. Халилов, А.Г. Дибир // Вопросы оптимизации тонкостенных силовых конструкций летательных аппаратов: сб. науч. тр. ХАИ. – Вып 4. – 1983 – с. 76 – 80.

**Рецензент:** д. ф.-м. н., проф., зав. каф. А.Г. Николаев, Национальный аэрокосмический университет им. Н.Е. Жуковского «ХАИ», г. Харьков.

Поступила в редакцию 29.05.09

## Передача по напрямку польоту локального навантаження на панель крила. Модель першого рівня

Розроблено і повністю проаналізовано математичну модель задачі передачі локальних навантажень на прямокутну пластину, підкріплену ребрами жорсткості, розташованими як на межі, так і в області, яку займає пластинка. На підставі отриманих результатів подано рекомендації щодо проектування аналогічних конструкцій.

**Ключові слова:** панель крила, локальне навантаження, бортова балка, бімс, розподіл напружень.

### Local Load Transfer to Wing Panel in Forward Direction. Level 1 Model

The mathematical model of the problem about transmission local loads on a rectangular plate, reinforced by the stiffening ribs located both on boundary, and in the area borrowed with a plate is developed and completely analysed. On the basis of the obtained outcomes recommendations for projection of analogous constructions are given.

**Keywords:** wing panel, local load, borne beam, beam, stress pattern.